

Министерство образования и науки Российской Федерации

Государственное образовательное учреждение высшего профессионального образования “Московский физико-технический институт (государственный университет)”

Магистерская диссертация

$Sl(2|1)$  суперсимметричные квантовые цепочки

Студентка 928 гр. Булгакова Д.В.

Научный руководитель:  
к.ф.-м.н. Типунин И.Ю.

Москва, 2015 г.

# 1 Введение

Известны многочисленные приложения конформной теории поля к статистической физике. Например, описание статистических свойств критических геометрических моделей (перколяций) или критических точек в моделях невзаимодействующих фермионов в размерности  $2+1$ , переходов между плато в целочисленном квантовом эффекте Холла или, связанном с проблемами перколяций, спиновом квантовом эффекте Холла. Хорошо разработан подход, позволяющий переходить от локальных наблюдаемых в непрерывном пределе к локальным полям. В случае перколяции, все нетривиальные наблюдаемые нелокальны, например, связь в кластере, где корреляционная функция определяется через вероятность данного набора точек принадлежать одному кластеру, или так называемые границы, где рассматривается вероятность, что две точки принадлежат одному кластеру. Описание границ с помощью полностью локальной модели, включающей спины, взаимодействующие с ближайшими соседями, дано в [2], где границы рассматриваются с точки зрения  $sl(2|1)$  суперсимметричной спиновой цепочки в непрерывном пределе переходящей в суперсимметричную проективную сигма-модель.

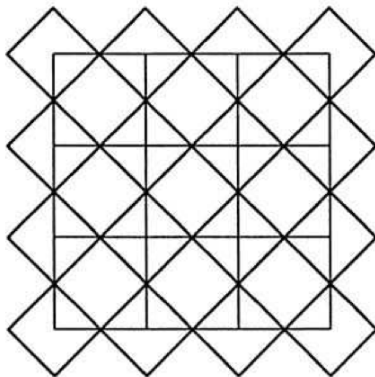


Рис. 1: Средняя решетка в квадратной решетке.

Дадим краткий обзор описания границ перколяционных кластеров. Переформулируем описание в терминах кластеров в описание в терминах петель. Петли можно получить разбив решетку, как показано на Рис. 1. Легко увидеть, что мы получили взаимоднозначное соответствие между петлями и кластерами. Следующим шагом, будем интерпретировать вершины средней решетки как взаимодействия. Конкретно, рассмотрим распространение в вер-

тикальном направлении на нашем рисунке и будем считать, что каждое ребро переносит цвет  $c_i$ , соответствующий бозону или фермиону. Две возможные вершины изображены на Рис. 2, где  $|c_i|$  равен нулю, если переносится бозон, и единице, если фермион. Результирующий вес есть число бозонов минус число фермионов.

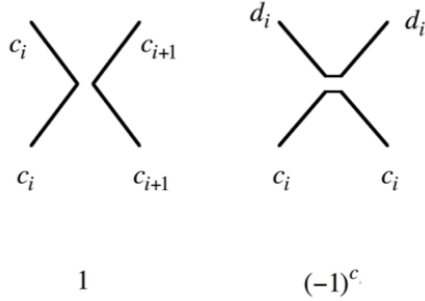


Рис. 2: Больцмановские веса в диаграммах без взаимодействия и с взаимодействием.

С каждым ребром средней решетки мы можем сопоставить  $\mathbb{Z}_2$  градуированное векторное пространство размерности  $(2|1)$ , то есть бозонное (соотв. фермионное) пространство размерности 2 (соотв. 1). Для четных и нечетных граней выберем фундаментальное и дуальное представления супералгебры Ли  $sl(2|1)$ . Различие между четными и нечетными гранями можно интерпретировать как выбор ориентации петель.

Далее мы можем ввести бозонные и фермионные операторы рождения-уничтожения. Генераторы супералгебры Ли  $sl(2|1)$ , действующие на каждом узле, билинейны по этим операторам. Из билинейных форм мы можем составить выражения, инвариантные относительно  $sl(2|1)$ . Обозначим через  $e_i$  произведения этих выражений. Генераторы  $e_i$  определяют представление алгебры Темперли-Либа, подалгебры алгебры Walled Brauer.

Взаимодействие в узле, где встречаются  $i$  и  $i+1$  задается трансфер-матрицей  $T_i = 1 + e_i$ . В термодинамическом пределе мы можем заменить описание через трансфер-матрицу на гамильтониан следующим образом  $H = -\sum_i e_i$ .

Фундаментальный вопрос, который обычно задают в LCFT - это определение операторного произведения (ОРЕ) квантовых полей. Благодаря конформной симметрии операторные произведения можно определить как тензорные произведения соответствующих модулей алгебры Вирасоро. Существуют

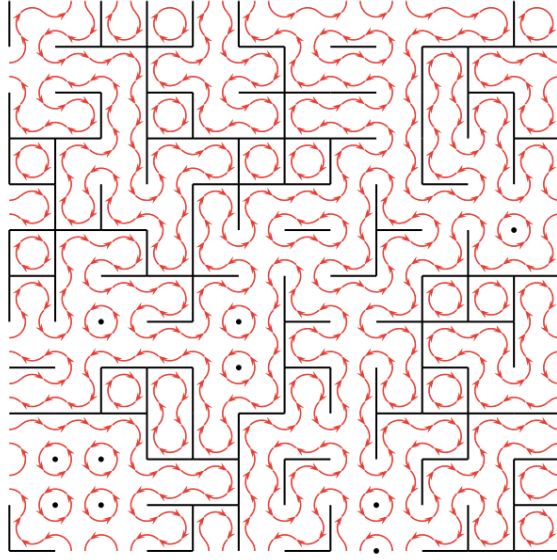


Рис. 3: Пример ориентации петель.

несколько способов решения проблемы о вычислении тензорных произведений. Один из них, так называемый "решеточный подход" состоит в исследовании  $1+1D$  спиновых цепочек в критических точках. Этот подход основан на соответствии между теорией представлений ассоциативных алгебр на решетке и алгебры Вирасоро в континуальном пределе. Впервые это было рассмотрено в работах [13, 14]: система категорий модулей алгебры Темперли-Либа, обозначаемых числом сайтов в спиновой цепочке, в непрерывном пределе принадлежала к категории Вирасоро-модулей. Изучение таких "решеточных алгебр" дает глубокое понимание сложной структуры непрерывного предела.

В настоящей работе мы хотим исследовать более общий случай  $\mathcal{U}_q sl(2|1)$  - квантовой деформации алгебры  $sl(2|1)$ . Который в случае перколяции может характеризовать, например, случай неодинаковых вероятностей по разным направлениям в решетке. Мы делаем первый шаг и даем математическое описание  $\mathcal{U}_q sl(2|1)$  спиновой цепочки, в частности, структуру бимодуля над  $\mathcal{U}_q sl(2|1)$  и ее централизатором квантовой Walled Brauer алгеброй [16].

## 2 Алгебра $\overline{U}_q sl(2|1)$

### 2.1 Определение of $\mathcal{U}_q sl(2|1)$

Алгебра Хопфа  $\mathcal{U}_q sl(2|1)$  - ассоциативная алгебра с единицей, порожденная генераторами  $B, F, k, K, C, E$ . Мы хотим рассмотреть случай произвольного значения параметра деформации  $q$ , то есть он не является корнем из единицы. В  $\mathcal{U}_q sl(2|1)$  содержится важная подалгебра  $\mathcal{U}_q sl(2)$ , которая порождена генераторами  $E, K, F$  и соотношениями

$$KF = q^{-2}FK, \quad EF - FE = \frac{K - K^{-1}}{q - q^{-1}}, \quad KE = q^2EK. \quad (1)$$

$\mathcal{U}_q sl(2)$  и  $k$  порождают большую подалгебру  $U_q^* sl(2)$  с соотношениями

$$kF = qFk, \quad kE = q^{-1}Ek, \quad kK = Kk. \quad (2)$$

Оставшиеся соотношения включают фермионы  $B$  и  $C$

$$\begin{aligned} kB = -Bk, \quad KB = qBK, \quad kC = -Ck, \quad KC = q^{-1}CK, \\ B^2 = 0, \quad BC - CB = \frac{k - k^{-1}}{q - q^{-1}}, \quad C^2 = 0, \\ FC - CF = 0, \quad BE - EB = 0, \\ FF B - [2]F B F + B F F = 0, \quad E E C - [2]E C E + C E E = 0, \end{aligned} \quad (3)$$

где мы обозначаем  $q$ -целые как

$$[n] = \frac{q^n - q^{-n}}{q - q^{-1}}.$$

Структура алгебры Хорфа  $\mathcal{U}_q sl(2|1)$  (т.е. копроизведение, антипод, и коединица) задается следующим образом

$$\Delta(F) = F \otimes 1 + K^{-1} \otimes F, \quad \Delta(E) = E \otimes K + \mathbf{1} \otimes E, \quad (4)$$

$$\Delta(B) = B \otimes 1 + k^{-1} \otimes B, \quad \Delta(C) = C \otimes k + \mathbf{1} \otimes C,$$

$$S(B) = -kB, \quad S(F) = -KF, \quad S(C) = -Ck^{-1}, \quad S(E) = -EK^{-1}, \quad (5)$$

$$\epsilon(B) = 0, \quad \epsilon(F) = 0, \quad \epsilon(C) = 0, \quad \epsilon(E) = 0, \quad (6)$$

где  $k$  и  $K$  group-like.

## 2.2 Простые $\mathcal{U}_qsl(2|1)$ модули

У алгебры  $\mathcal{U}_qsl(2|1)$  есть следующий набор простых модулей

$$\mathcal{Z}_{s,r}^{\alpha,\beta}, \quad \alpha, \beta = \pm 1, \quad s \geq 1, \quad r \in \mathbb{Z},$$

с размерностями

$$\dim \mathcal{Z}_{s,r}^{\alpha,\beta} = \begin{cases} 2s - 1, & r = 0, \\ 2s + 1, & r = s, \\ 4s, & r \neq 0, s. \end{cases} \quad (7)$$

Модули с  $r = 0$ ,  $s$  будем называть атипическими, остальные - типическими.

### 2.2.1 Описание простых $\mathcal{U}_qsl(2|1)$ -модулей

Опишем действие  $\mathcal{U}_qsl(2|1)$  на простых модулях явно, используя базис относительно разложения по  $U_q^*sl(2)$ -модулям. Каждый  $\mathcal{U}_qsl(2|1)$ -модуль можно разложить в прямую сумму  $U_q^*sl(2)$ -модулей  $\mathcal{X}_{s,r}^{\alpha,\beta}$ , где  $\alpha, \beta = \pm$ ,  $s \geq 1$ ,  $r \in \mathbb{Z}$ .

Атипические модули  $r = 0$ . Как модули над  $U_q^*sl(2)$  они разлагаются в прямую сумму следующим образом

$$\mathcal{Z}_{s,0}^{\alpha,\beta} = \mathcal{X}_{s,0}^{\alpha,\beta} \oplus \mathcal{X}_{s-1,-1}^{\alpha,\beta}, \quad (8)$$

в соответствии с этим разложение мы можем выбрать базис в  $\mathcal{Z}_{s,0}^{\alpha,\beta}$  как

$$\left( |\alpha, s; \beta, 0\rangle_n^\leftarrow \in \mathcal{X}_{s,0}^{\alpha,\beta} \right)_{0 \leq n \leq s-1}, \quad \left( |\alpha, s; \beta, 0\rangle_m^\rightarrow \in \mathcal{X}_{s-1,-1}^{\alpha,\beta} \right)_{0 \leq m \leq s-2}.$$

Фермионные генераторы связывают эти два типа векторов следующим образом

$$B|\alpha, s, \beta, 0\rangle_n^\leftarrow = -[n]|\alpha, s, \beta, 0\rangle_{n-1}^\rightarrow, \quad C|\alpha, s, \beta, 0\rangle_m^\rightarrow = \beta|\alpha, s, \beta, 0\rangle_{m+1}^\leftarrow.$$

Атипические модули  $s = r$ . Модули разлагаются как

$$\mathcal{Z}_{s,s}^{\alpha,\beta} = \mathcal{X}_{s,s}^{\alpha,\beta} \oplus \mathcal{X}_{s+1,s}^{\alpha,-\beta} \quad (9)$$

и мы можем выбрать следующий базис в  $\mathcal{Z}_{s,s}^{\alpha,\beta}$ :

$$\left( |\alpha, s; \beta, s\rangle_n^\leftarrow \in \mathcal{X}_{s,s}^{\alpha,\beta} \right)_{0 \leq n \leq s-1}, \quad \left( |\alpha, s; \beta, s\rangle_m^\rightarrow \in \mathcal{X}_{s+1,s}^{\alpha,-\beta} \right)_{0 \leq m \leq s}.$$

Действие фермионов

$$B|\alpha, s, \beta, s\rangle_n^\leftarrow = [s - n]|\alpha, s, \beta, s\rangle_n^\rightarrow, \quad C|\alpha, s, \beta, s\rangle_m^\rightarrow = \beta|\alpha, s, \beta, s\rangle_m^\leftarrow.$$

Типические модули  $r \neq 0, s$  Модули разлагаются как

$$\mathcal{Z}_{s,r}^{\alpha,\beta} = \mathcal{X}_{s,r}^{\alpha,\beta} \oplus \mathcal{X}_{s+1,r}^{\alpha,-\beta} \oplus \mathcal{X}_{s-1,r-1}^{\alpha,-\beta} \oplus \mathcal{X}_{s,r-1}^{\alpha,\beta}.$$

Выбираем в  $\mathcal{Z}_{s,r}^{\alpha,\beta}$  следующий базис

$$\begin{aligned} & (|\alpha, s; \beta, r\rangle_j^\leftarrow)_{0 \leq j \leq s-1}, \quad (|\alpha, s; \beta, r\rangle_m^\uparrow)_{0 \leq m \leq s}, \\ & (|\alpha, s; \beta, r\rangle_n^\downarrow)_{0 \leq n \leq s-2}, \quad (|\alpha, s; \beta, r\rangle_j^\rightarrow)_{0 \leq j \leq s-1}. \end{aligned} \quad (10)$$

Действие фермионов

$$\begin{aligned} B|\alpha, s, \beta, r\rangle_j^\leftarrow &= \frac{[j]}{[s]}|\alpha, s, \beta, r\rangle_{j-1}^\downarrow + \beta \frac{[r][s-j]}{[s]}|\alpha, s, \beta, r\rangle_j^\uparrow, \\ B|\alpha, s, \beta, r\rangle_m^\uparrow &= [m]|\alpha, s, \beta, r\rangle_{m-1}^\rightarrow, \quad C|\alpha, s, \beta, r\rangle_m^\uparrow = |\alpha, s, \beta, r\rangle_m^\leftarrow, \\ B|\alpha, s, \beta, r\rangle_n^\downarrow &= \beta[r][n+1-s]|\alpha, s, \beta, r\rangle_n^\rightarrow, \quad C|\alpha, s, \beta, r\rangle_n^\downarrow = \beta[r-s]|\alpha, s, \beta, r\rangle_{n+1}^\leftarrow, \\ C|\alpha, s, \beta, r\rangle_j^\rightarrow &= \frac{1}{[s]}|\alpha, s, \beta, r\rangle_j^\downarrow + \beta \frac{[s-r]}{[s]}|\alpha, s, \beta, r\rangle_{j+1}^\uparrow. \end{aligned}$$

### 2.3 Группы расширений $\text{Ext}^1$ для атипических модулей

Для типических  $\mathcal{U}_qsl(2|1)$ -модулей группа  $\text{Ext}^1$  отсутствует, рассмотрим только атипические модули. Для двух модулей  $\mathcal{Z}_1$  и  $\mathcal{Z}_2$  определим  $\text{Ext}^1(\mathcal{Z}_2, \mathcal{Z}_1)$  как линейное пространство с базисом совпадающим с короткой точной последовательностью

$$0 \rightarrow \mathcal{Z}_1 \rightarrow \mathcal{Z}_1 \rtimes \mathcal{Z}_2 \rightarrow \mathcal{Z}_2 \rightarrow 0$$

Действие генераторов  $\mathcal{U}_qsl(2|1)$  на  $\mathcal{Z}_1 \rtimes \mathcal{Z}_2$  задается как

$$\rho_A = \rho_A^{(0)} + \xi_A$$

где  $\rho_A^{(0)}$  прямая сумма действия генераторов  $\mathcal{U}_qsl(2|1)$  на простых модулях и  $\xi_A = \xi_A^{\mathcal{Z}_1, \mathcal{Z}_2} : \mathcal{Z}_1 \rightarrow \mathcal{Z}_2$  - линейные отображения.

Группа  $\text{Ext}^1(\mathcal{Z}_1, \mathcal{Z}_2)$  для атипических модулей имеет размерность 1 или 0. Ниже дан список действий  $\xi_A$  для ненулевых  $\text{Ext}^1$  пространств, где мы

выбираем базисный вектор в каждом пространстве. Исключения составляют случаи, когда один из модулей  $\mathcal{Z}_{1,0}^{\alpha,\beta}$ . Эти случаи можно включить в общую картину, используя предположение  $\mathcal{Z}_{0,0}^{\alpha,\beta} = \mathcal{Z}_{1,0}^{\alpha,-\beta}$  и  $|\alpha, 0, \beta, 0\rangle_0^{\rightarrow} = |\alpha, 1, -\beta, 0\rangle_0^{\leftarrow}$ ,  $|\alpha, 0, \beta, 0\rangle_m^{\leftarrow} = 0$ ,  $m \neq 0$ . Тогда получим

$$\begin{aligned}
\text{Ext}^1(\mathcal{Z}_{s,0}^{\alpha,\beta}, \mathcal{Z}_{s+1,0}^{\alpha,-\beta}) &= \{b_{s+1}\}, & \xi_B : |\alpha, s, \beta, 0\rangle_m^{\leftarrow} &\mapsto -[s-m]|\alpha, s+1, -\beta, 0\rangle_m^{\leftarrow}, \\
& (s \geq 1) & \xi_B : |\alpha, s, \beta, 0\rangle_m^{\rightarrow} &\mapsto [s-m-1]|\alpha, s+1, -\beta, 0\rangle_m^{\rightarrow}, \\
\text{Ext}^1(\mathcal{Z}_{s,0}^{\alpha,\beta}, \mathcal{Z}_{s-1,0}^{\alpha,-\beta}) &= \{c_{s-1}\}, & \xi_C : |\alpha, s, \beta, 0\rangle_m^{\leftarrow} &\mapsto |\alpha, s-1, -\beta, 0\rangle_m^{\leftarrow}, \\
& (s \geq 2) & \xi_C : |\alpha, s, \beta, 0\rangle_m^{\rightarrow} &\mapsto |\alpha, s-1, -\beta, 0\rangle_m^{\rightarrow}, \\
\text{Ext}^1(\mathcal{Z}_{s,s}^{\alpha,\beta}, \mathcal{Z}_{s-1,s-1}^{\alpha,-\beta}) &= \{b_{s-1}\}, & \xi_B : |\alpha, s, \beta, s\rangle_m^{\leftarrow} &\mapsto -[m]|\alpha, s-1, -\beta, s-1\rangle_{m-1}^{\leftarrow}, \\
& (s \geq 1) & \xi_B : |\alpha, s, \beta, s\rangle_m^{\rightarrow} &\mapsto [m]|\alpha, s-1, -\beta, s-1\rangle_{m-1}^{\rightarrow}, \\
\text{Ext}^1(\mathcal{Z}_{s,s}^{\alpha,\beta}, \mathcal{Z}_{s+1,s+1}^{\alpha,-\beta}) &= \{c_{s+1}\}, & \xi_C : |\alpha, s, \beta, s\rangle_m^{\leftarrow} &\mapsto |\alpha, s+1, -\beta, s+1\rangle_{m+1}^{\leftarrow}, \\
& (s \geq 0) & \xi_C : |\alpha, s, \beta, s\rangle_m^{\rightarrow} &\mapsto |\alpha, s+1, -\beta, s+1\rangle_{m+1}^{\rightarrow},
\end{aligned}$$

## 2.4 Проективные $\mathcal{U}_q\mathfrak{sl}(2|1)$ модули

Единственный возможный тип проективных модулей - это проективные накрытия атипических модулей, которые мы обозначим как  $\mathcal{R}_{s,0}^{\alpha,\beta}$  и  $\mathcal{R}_{s,s}^{\alpha,\beta}$ , где  $\alpha, \beta = \pm 1$ ,  $s \geq 1$ . Для  $\mathcal{R}_{s,0}^{\alpha,\beta}$  Лоэву граф следующий

$$\begin{array}{ccc}
& \begin{pmatrix} \alpha & \beta \\ s & 0 \end{pmatrix} & \\
& \swarrow & \searrow \\
\begin{pmatrix} \alpha & -\beta \\ s+1 & 0 \end{pmatrix} & & \begin{pmatrix} \alpha & -\beta \\ s-1 & 0 \end{pmatrix} \\
& \searrow & \swarrow \\
& \begin{pmatrix} \alpha & \beta \\ s & 0 \end{pmatrix} &
\end{array} \tag{11}$$



И такой же для  $\mathcal{R}_{s,s}^{\alpha,\beta}$

$$\begin{array}{ccc}
 & \begin{pmatrix} \alpha & \beta \\ s & s \end{pmatrix} & \\
 & \swarrow \quad \searrow & \\
 \begin{pmatrix} \alpha & -\beta \\ s+1 & s+1 \end{pmatrix} & & \begin{pmatrix} \alpha & -\beta \\ s-1 & s-1 \end{pmatrix} \\
 & \swarrow \quad \searrow & \\
 & \begin{pmatrix} \alpha & \beta \\ s & s \end{pmatrix} &
 \end{array} \tag{12}$$

где  $\begin{pmatrix} \alpha & \beta \\ s & r \end{pmatrix} = \mathcal{Z}_{s,r}^{\alpha,\beta}$  - простые подфакторы, а стрелки - соответствующие  $\text{Ext}^1$ .

Из предположения  $\mathcal{Z}_{0,0}^{\alpha,\beta} = \mathcal{Z}_{1,0}^{\alpha,-\beta}$  в предыдущем разделе следуют два заключения. Графы для  $\mathcal{R}_{1,0}^{\alpha,\beta}$  and  $\mathcal{R}_{1,1}^{\alpha,\beta}$  имеют следующий вид

$$\begin{array}{ccc}
 & \begin{pmatrix} \alpha & \beta \\ 1 & 0 \end{pmatrix} & \\
 & \swarrow \quad \searrow & \\
 \begin{pmatrix} \alpha & -\beta \\ 2 & 0 \end{pmatrix} & & \begin{pmatrix} \alpha & \beta \\ 1 & 1 \end{pmatrix} \\
 & \swarrow \quad \searrow & \\
 & \begin{pmatrix} \alpha & \beta \\ 1 & 0 \end{pmatrix} &
 \end{array}
 \quad
 \begin{array}{ccc}
 & \begin{pmatrix} \alpha & \beta \\ 1 & 1 \end{pmatrix} & \\
 & \swarrow \quad \searrow & \\
 \begin{pmatrix} \alpha & -\beta \\ 2 & 2 \end{pmatrix} & & \begin{pmatrix} \alpha & \beta \\ 1 & 0 \end{pmatrix} \\
 & \swarrow \quad \searrow & \\
 & \begin{pmatrix} \alpha & \beta \\ 1 & 1 \end{pmatrix} &
 \end{array} \tag{13}$$

## 2.5 Люстиговский предел $LU_qsl(2|1)$

Генераторы алгебры  $B, F, k, K, C, E, e, f, h$ . Опишем соотношения в алгебре. Предварительно заметим, что  $LU_qsl(2|1)$  содержит идеал  $U_qsl(2|1)$  и подалгебру  $sl(2)$ .

Генераторы  $U_qsl(2|1)$  уже были описаны в начале этого раздела. Теперь расширим  $U_qsl(2|1)$  элементами  $e, f, h$ , которые удовлетворяют коммутационным соотношениям из  $sl(2)$ :

$$[h, e] = e, \quad [h, f] = -f, \quad [e, f] = 2h \tag{14}$$

И коммутируют с генераторами  $U_qsl(2|1)$  следующим образом

$$[h, K] = 0, \quad [E, e] = 0, \quad [K, e] = 0, \quad [F, f] = 0, \quad [K, f] = 0, \quad (15)$$

$$[F, e] = \frac{1}{[p-1]!} K^p \frac{qK - q^{-1}K^{-1}}{q - q^{-1}} E^{p-1}, \quad (16)$$

$$[E, f] = \frac{(-1)^{p+1}}{[p-1]!} F^{p-1} \frac{qK - q^{-1}K^{-1}}{q - q^{-1}}, \quad (17)$$

$$[h, E] = \frac{1}{2} EA, \quad [h, F] = -\frac{1}{2} AF \quad (18)$$

где

$$A = \sum_{s=1}^{p-1} \frac{(u_s(q^{-s-1}) - u_s(q^{s-1}))K + q^{s-1}u_s(q^{s-1}) - q^{-s-1}u_s(q^{-s-1}))}{(q^{s-1} - q^{-s-1})u_s(q^{-s-1})u_s(q^{s-1})} u_s(K)e_s,$$

а  $u_s(K) = \prod_{n=1, n \neq s}^{p-1} (K - q^{s-1-2n})$  и  $e_s$  - центральные идемпотенты  $U_qsl(2|1)$ .

Соотношения  $e, f, h$  с  $k$  и фермионными генераторами  $U_qsl(2|1)$  следующие

$$fE - Ef = 0 \quad (19)$$

$$fk + kf = 0 \quad (20)$$

$$eB + Be = 0 \quad (21)$$

$$ek + ke = 0 \quad (22)$$

$$fB + Bf = \frac{(-1)^p}{[p-1]!} F^{p-1} BF \quad (23)$$

$$eC - Ce = \frac{1}{[p-1]!} K^p E^{p-1} CE \quad (24)$$

$$hC - Ch = \frac{(-1)^{p-1}}{2[p-1]!} K^p \left( \frac{1}{[p-1]!} E^{p-1} F^{p-1} \frac{q^2K - q^{-2}K^{-1}}{q - q^{-1}} C + \right. \quad (25)$$

$$\left. + \sum_{s=1}^{p-1} \frac{(-1)^s}{[p-s]!} [p-1] E^{p-s-1} F^{p-s} \prod_{r=1}^s \frac{q^{r-2}K - q^{2-r}K^{-1}}{q - q^{-1}} CE \right)$$

$$hB - Bh = \frac{(-1)^{p-1}}{2[p-1]!} K^p \left( \frac{1}{[p-1]!} F^{p-1} \frac{K - K^{-1}}{q - q^{-1}} E^{p-1} B + \right. \quad (26)$$

$$\left. + \sum_{s=1}^{p-1} \frac{(-1)^s}{[p-s]!} [p-1] E^{p-s} F^{p-s-1} \prod_{r=1}^s \frac{q^r K - q^{-r}K^{-1}}{q - q^{-1}} BF \right)$$

Структура алгебры Хопфа на  $e$ ,  $f$  and  $h$  задается следующими соотношениями

$$\Delta(e) = e \otimes 1 + K^p \otimes e + \frac{1}{[p-1]!} \sum_{r=1}^{p-1} \frac{q^{r(p-r)}}{[r]} K^p E^{p-r} \otimes E^r K^{-r}, \quad (27)$$

$$\Delta(f) = f \otimes 1 + K^p \otimes f + \frac{(-1)^p}{[p-1]!} \sum_{s=1}^{p-1} \frac{q^{-s(p-s)}}{[s]} K^{p+s} F^s \otimes F^{p-s}, \quad (28)$$

и

$$S(e) = -K^p e, \quad S(f) = -K^p f, \quad S(h) = -h, \quad (29)$$

$$\epsilon(e) = \epsilon(f) = \epsilon(h) = 0, \quad (30)$$

### 3 Спиновая цепочка

Простые  $U_qsl(2|1)$ -модули минимальной размерности (большей единицы) - это модули размерности 3. Далее будем обозначать два возможных модуля размерности 3 как  $\mathbf{3} = \mathcal{Z}_{1,1}^{\alpha,-\beta}$  и  $\bar{\mathbf{3}} = \mathcal{Z}_{2,0}^{\alpha,\beta}$ .

Определим спиновую цепочку как  $(m+n)$ -кратное тензорное произведение

$$\mathcal{M}(m, n) = \mathbf{3}^{\otimes m} \otimes \bar{\mathbf{3}}^{\otimes n} \quad (31)$$

#### 3.1 Тензорные произведения модулей

Вследствие того, что  $U_qsl(2|1)$  - алгебра Хопфа, тензорное произведение любых двух  $U_qsl(2|1)$ -модулей так же представляют собой  $U_qsl(2|1)$ -модули и могут быть разложены в прямую сумму. Ввиду громоздкости формул и разнообразия случаев, мы не будем приводить здесь весь список тензорных произведений, а ограничимся только теми, которые понадобятся нам для дальнейшего исследования свойств цепочки. Следовательно рассмотрим тензорные произведения  $Z_{1,1}^{\alpha,\beta}$  and  $Z_{2,0}^{\alpha,\beta}$  со всеми неприводимыми модулями.

Для  $Z_{1,1}^{\alpha,\beta}$  имеем

$$Z_{s,r}^{\alpha_1,\beta_1} \otimes Z_{1,1}^{\alpha_2,\beta_2} = \begin{cases} Z_{s,r+1}^{\alpha_{12},\beta_{12}} + Z_{s+1,r+1}^{\alpha_{12},-\beta_{12}} + Z_{s-1,r}^{\alpha_{12},-\beta_{12}}, & r \neq -1, 0, s-1, s \\ R_{s+1,0}^{\alpha_{12},-\beta_{12}} + Z_{s-1,-1}^{\alpha_{12},-\beta_{12}}, & r = -1 \\ Z_{s-1,0}^{\alpha_{12},-\beta_{12}} + Z_{s,1}^{\alpha_{12},\beta_{12}}, & r = 0 \\ R_{s-1,s-1}^{\alpha_{12},-\beta_{12}} + Z_{s+1,s}^{\alpha_{12},-\beta_{12}}, & r = s-1 \\ Z_{s+1,s+1}^{\alpha_{12},-\beta_{12}} + Z_{s,s+1}^{\alpha_{12},\beta_{12}}, & r = s \end{cases}$$

$$R_{s,0}^{\alpha_1,\beta_1} \otimes Z_{1,1}^{\alpha_2,\beta_2} = R_{s-1,0}^{\alpha_{12},-\beta_{12}} + 2Z_{s,1}^{\alpha_{12},\beta_{12}} + Z_{s-1,1}^{\alpha_{12},-\beta_{12}} + Z_{s+1,1}^{\alpha_{12},-\beta_{12}}$$

$$R_{s,s}^{\alpha_1,\beta_1} \otimes Z_{1,1}^{\alpha_2,\beta_2} = R_{s+1,s+1}^{\alpha_{12},-\beta_{12}} + 2Z_{s,s+1}^{\alpha_{12},\beta_{12}} + Z_{s-1,s}^{\alpha_{12},-\beta_{12}} + Z_{s+1,s+2}^{\alpha_{12},-\beta_{12}}$$

где  $\alpha_{12} = \alpha_1\alpha_2$ ,  $\beta_{12} = \beta_1\beta_2$ . И для  $Z_{2,0}^{\alpha,\beta}$  имеем

$$Z_{s,r}^{\alpha_1,\beta_1} \otimes Z_{2,0}^{\alpha_2,\beta_2} = \begin{cases} Z_{s+1,r}^{\alpha_{12},\beta_{12}} + Z_{s,r-1}^{\alpha_{12},\beta_{12}} + Z_{s-1,r-1}^{\alpha_{12},-\beta_{12}}, & r \neq 0, 1, s, s+1 \\ Z_{s+1,0}^{\alpha_{12},\beta_{12}} + Z_{s-1,-1}^{\alpha_{12},\beta_{12}}, & r = 0 \\ R_{s,0}^{\alpha_{12},-\beta_{12}} + Z_{s+1,1}^{\alpha_{12},-\beta_{12}}, & r = 1 \\ Z_{s-1,s-1}^{\alpha_{12},\beta_{12}} + Z_{s+1,s}^{\alpha_{12},\beta_{12}}, & r = s \\ R_{s,s}^{\alpha_{12},-\beta_{12}} + Z_{s-1,s}^{\alpha_{12},\beta_{12}}, & r = s+1 \end{cases}$$

$$R_{s,0}^{\alpha_1,\beta_1} \otimes Z_{2,0}^{\alpha_2,\beta_2} = R_{s+1,0}^{\alpha_{12},\beta_{12}} + 2Z_{s-1,-1}^{\alpha_{12},\beta_{12}} + Z_{s,-1}^{\alpha_{12},-\beta_{12}} + Z_{s-2,-1}^{\alpha_{12},-\beta_{12}}$$

$$R_{s,s}^{\alpha_1,\beta_1} \otimes Z_{2,0}^{\alpha_2,\beta_2} = R_{s-1,s-1}^{\alpha_{12},\beta_{12}} + 2Z_{s+1,s}^{\alpha_{12},\beta_{12}} + Z_{s+2,s+1}^{\alpha_{12},-\beta_{12}} + Z_{s,s-1}^{\alpha_{12},-\beta_{12}}$$

## 4 Квантовая Walled Brauer алгебра

### 4.1 Централизатор $\mathcal{U}_q sl(2|1)$

Вместо громоздких обозначений из раздела (2.2.1.) для базисных векторов в  $\mathfrak{3}$  и  $\bar{\mathfrak{3}}$  модулях будем использовать следующие

$$\begin{aligned} f_2 &= |\alpha, 1; -\beta, 1\rangle_0^{\rightarrow} & v_1 &= |\alpha, 2; \beta, 0\rangle_0^{\leftarrow} \\ f_1 &= |\alpha, 1; -\beta, 1\rangle_0^{\leftarrow} & \text{и} & & v_3 &= |\alpha, 2; \beta, 0\rangle_0^{\rightarrow} \\ f_3 &= |\alpha, 1; -\beta, 1\rangle_1^{\rightarrow} & v_2 &= |\alpha, 2; \beta, 0\rangle_1^{\leftarrow} \end{aligned}$$

Рассмотрим операторы коммутирующие с  $\mathcal{U}_q sl(2|1)$

$$\begin{aligned} \mathbf{g} &: \mathfrak{3} \otimes \mathfrak{3} \mapsto \mathfrak{3} \otimes \mathfrak{3} \\ \mathbf{h} &: \bar{\mathfrak{3}} \otimes \bar{\mathfrak{3}} \mapsto \bar{\mathfrak{3}} \otimes \bar{\mathfrak{3}} \\ \mathcal{E} &: \mathfrak{3} \otimes \bar{\mathfrak{3}} \mapsto \mathfrak{3} \otimes \bar{\mathfrak{3}} \end{aligned}$$

Выпишем их действие на базисные вектора явно

$$\mathbf{g} : \begin{pmatrix} f_1 \otimes f_1 & f_1 \otimes f_2 & f_1 \otimes f_3 \\ f_2 \otimes f_1 & f_2 \otimes f_2 & f_2 \otimes f_3 \\ f_3 \otimes f_1 & f_3 \otimes f_2 & f_3 \otimes f_3 \end{pmatrix} \mapsto \begin{pmatrix} \mathfrak{q}^{-2} f_1 \otimes f_1 & -\mathfrak{q}^{-1} f_2 \otimes f_1 & -\mathfrak{q}^{-1} f_3 \otimes f_1 \\ (\mathfrak{q}^{-2}-1) f_2 \otimes f_1 - \mathfrak{q}^{-1} f_1 \otimes f_2 & -f_2 \otimes f_2 & -\mathfrak{q}^{-1} f_3 \otimes f_2 \\ (\mathfrak{q}^{-2}-1) f_3 \otimes f_1 - \mathfrak{q}^{-1} f_1 \otimes f_3 & (\mathfrak{q}^{-2}-1) f_3 \otimes v_2 - \mathfrak{q}^{-1} f_2 \otimes f_3 & -f_3 \otimes f_3 \end{pmatrix},$$

$$\mathbf{h} : \begin{pmatrix} v_1 \otimes v_1 & v_1 \otimes v_2 & v_1 \otimes v_3 \\ v_2 \otimes v_1 & v_2 \otimes v_2 & v_2 \otimes v_3 \\ v_3 \otimes v_1 & v_3 \otimes v_2 & v_3 \otimes v_3 \end{pmatrix} \mapsto \begin{pmatrix} -v_1 \otimes v_1 & -\mathfrak{q}^{-1} v_2 \otimes v_1 & -\mathfrak{q}^{-1} v_3 \otimes v_1 \\ (\mathfrak{q}^{-2}-1) v_2 \otimes v_1 - \mathfrak{q}^{-1} v_1 \otimes v_2 & -v_2 \otimes v_2 & -\mathfrak{q}^{-1} v_3 \otimes v_2 \\ (\mathfrak{q}^{-2}-1) v_3 \otimes v_1 - \mathfrak{q}^{-1} v_1 \otimes v_3 & (\mathfrak{q}^{-2}-1) v_3 \otimes v_2 - \mathfrak{q}^{-1} v_2 \otimes v_3 & \mathfrak{q}^{-2} v_3 \otimes v'_3 \end{pmatrix}.$$

и

$$\mathcal{E} : \begin{pmatrix} f_1 \otimes v_1 & f_1 \otimes v_2 & f_1 \otimes v_3 \\ f_2 \otimes v_1 & f_2 \otimes v_2 & f_2 \otimes v_3 \\ f_3 \otimes v_1 & f_3 \otimes v_2 & f_3 \otimes v_3 \end{pmatrix} \mapsto \begin{pmatrix} 0 & 0 & 1 \\ 0 & -q & 0 \\ 1 & 0 & 0 \end{pmatrix} \cdot (f_3 \otimes v_1 - q f_2 \otimes v_2 - q^2 f_1 \otimes v_3)$$

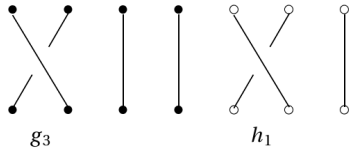
Определим операторы на цепочке  $\mathcal{M}(m, n)$  следующим образом

$$\mathbf{g}_j = \underbrace{\mathbf{1} \otimes \dots \otimes \mathbf{1}}_{m-j-1} \otimes \mathbf{g} \otimes \underbrace{\mathbf{1} \otimes \dots \otimes \mathbf{1}}_{n+j-1}$$

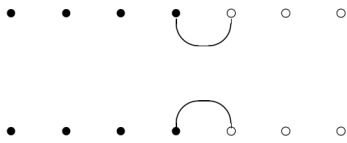
$$\mathbf{h}_i = \underbrace{\mathbf{1} \otimes \dots \otimes \mathbf{1}}_{m+i-1} \otimes \mathbf{h} \otimes \underbrace{\mathbf{1} \otimes \dots \otimes \mathbf{1}}_{n-i-1}$$

$$\mathcal{E} = \underbrace{\mathbf{1} \otimes \dots \otimes \mathbf{1}}_{m-1} \otimes \mathcal{E} \otimes \underbrace{\mathbf{1} \otimes \dots \otimes \mathbf{1}}_{n-1}$$

Генераторы  $\mathcal{E}$ ,  $\mathbf{g}_j$  и  $\mathbf{h}_i$  можно изобразить графически,  $\mathbf{g}_3$  and  $\mathbf{h}_1$ , например, выглядят как



И соответственно  $\mathcal{E}$



Алгебра, порожденная генераторами  $\mathcal{E}$ ,  $\mathbf{g}_j$ ,  $\mathbf{h}_i$ , где  $1 \leq j \leq m-1$ ,  $1 \leq i \leq n-1$ , квантовая walled Brauer алгебра ( $\mathfrak{qWB}$ ).

## 4.2 $\mathfrak{qWB}$ модули

Как описано в [5], все простые  $\mathfrak{qWB}(m, n)$  модули нумеруются парами диаграмм Юнга  $[\lambda_1, \lambda_2]$ ,  $m - |\lambda_1| = n - |\lambda_2| \geq 0$ , где  $|\lambda_1|$ ,  $|\lambda_2|$  - число боксов в  $\lambda_1$  и  $\lambda_2$  диаграммах.

## 5 Спиновая цепочка как бимодуль

Получим разложение цепочки как бимодуль над парой  $q\mathcal{WB} \boxtimes U_q sl(2|1)$  взаимных централизаторов.

Чтобы сделать ответ более наглядным, сделаем замену  $t = s - r$ , тогда  $Z_{s,r}^{\alpha,\beta}$  запишется как  $Z_{t,r}^{\alpha,\beta}$ . В бимодуле могут встречаться только диаграммы содержащие две первые строки и один столбец. Для таких диаграмм, показанных на Рис. 4 мы используем следующие обозначения:

$$\lambda_m(s, k) = (s + k, k + 1, 1^{m-s-2k-1})$$

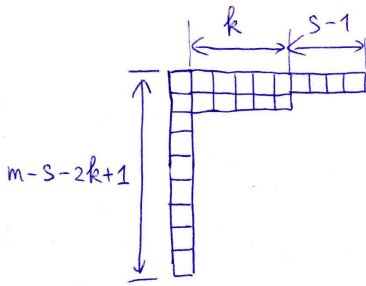


Рис. 4: Диаграмма  $\lambda_m(s, k)$



Получим следующее разложение:

$$\begin{aligned}
\mathcal{M}_{m,n} = & \bigoplus_{i=0}^{\min(m,n)-1} \bigoplus_{x=0}^{m-i-1} [\lambda_{m-i}(m-i-x, 0), \lambda_{n-i}(n-i, 0)] \boxtimes \mathcal{Z}_{n-x-i, m-i}^{1, (-1)^{x+2i+1}} \oplus \\
& \bigoplus_{i=0}^{\min(m,n)-1} \bigoplus_{x=1}^{n-i-1} [\lambda_{m-i}(m-i, 0), \lambda_{n-i}(n-i-x, 0)] \boxtimes \mathcal{Z}_{n-i, m-x-i}^{1, (-1)^{x+2i+1}} \oplus \\
& \bigoplus_{i=1}^{\min(m,n)-1} \bigoplus_{x=0}^{\min(i, n-i)-1} [\lambda_{m-i+x+1}(1, 0), \lambda_{n-i+x+1}(n-i-x, x)] \boxtimes \mathcal{Z}_{n-m-x, m-i}^{1, (-1)^{m+x+i+1}} \oplus \\
& \bigoplus_{i=1}^{\min(m,n)-1} \bigoplus_{x=0}^{\min(i, m-i)-1} [\lambda_{m-i+x+1}(m-i-x, x), \lambda_{n-i+x+1}(1, 0)] \boxtimes \mathcal{Z}_{n-i, m-n-x}^{1, (-1)^{n+x+i+1}} \oplus \\
& \bigoplus_{i=0}^{\lfloor \frac{m-n}{2} \rfloor - 1} \bigoplus_{x=1}^{m-n-2i-1} [\lambda_{m-n}(x, i), 0] \boxtimes \mathcal{Z}_{n-m+x+i, m-n-i}^{1, (-1)^{m+n-x+1}} \oplus \\
& \bigoplus_{i=0}^{\lfloor \frac{n-m}{2} \rfloor - 1} \bigoplus_{x=1}^{n-m-2i-1} [0, \lambda_{n-m}(x, i)] \boxtimes \mathcal{Z}_{n-m-i, m-n+x+i}^{1, (-1)^{m+n-x+1}} \oplus \\
& \bigoplus_{i=1}^{\lfloor \frac{m-n-1}{2} \rfloor} \bigoplus_{x=1}^{\min(n, m-n-2i)} [\lambda_{m-n+x}(m-n-x-2i+1, x+i-1), \lambda_x(1, 0)] \boxtimes \mathcal{Z}_{-i, m-n-x-i+1}^{1, (-1)^{2n+x+2i}} \oplus \\
& \bigoplus_{i=1}^{\lfloor \frac{n-m-1}{2} \rfloor} \bigoplus_{x=1}^{\min(m, n-m-2i)} [\lambda_x(1, 0), \lambda_{n-m+x}(n-m-x-2i+1, x+i-1)] \boxtimes \mathcal{Z}_{n-m-x-i+1, -i}^{1, (-1)^{2m+x+2i}} \oplus \\
& \bigoplus_{i=1}^{\min(m-n, n)-1} [\lambda_{m-n+i+1}(m-n-i, i), \lambda_{i+1}(1, 0)] \boxtimes \mathcal{R}_{m-n-i, m-n-i}^{1, (-1)^{2n+i+1}} \oplus \\
& \bigoplus_{i=1}^{\min(n-m, m)-1} [\lambda_{i+1}(1, 0), \lambda_{n-m+i+1}(n-m-i, i)] \boxtimes \mathcal{R}_{n-m-i+1, 0}^{1, (-1)^{2m+i+1}} \oplus \\
& \oplus [\lambda_{m-n}(m-n, 0), 0] \boxtimes \mathcal{Z}_{m-n, m-n}^{1, -1} \oplus [0, \lambda_{n-m}(n-m, 0)] \boxtimes \mathcal{Z}_{n-m+1, 0}^{1, 1}
\end{aligned}$$

Для простоты в первую и третью суммы мы включили члены  $\mathcal{Z}_{0,r}^{\alpha,\beta}$ , появляющиеся при некоторых значениях  $m, n, i, x$ . Для таких членов мы предпола-

гаем

$$\begin{aligned}\mathcal{Z}_{0,r}^{\alpha,\beta} &\equiv \mathcal{R}_{r-1,r-1}^{\alpha,\beta}, & r \neq 1 \\ \mathcal{Z}_{0,1}^{\alpha,\beta} &= \mathcal{R}_{1,0}^{\alpha,-\beta}, & m \neq n \\ \mathcal{Z}_{0,1}^{\alpha,\beta} &= \mathcal{Z}_{1,0}^{\alpha,-\beta}, & [\lambda_2(1, 0), \lambda_2(1, 0)] = [0, 0], \quad m = n\end{aligned}$$

Для членов во второй и четвертой суммах, когда возникает  $\mathcal{Z}_{t,0}^{\alpha,\beta}$ , мы считаем  $\mathcal{Z}_{t,0}^{\alpha,\beta} \equiv \mathcal{R}_{t,0}^{\alpha,\beta}$ .

## 6 Тензорные произведения при $p=2$ и $3$

Так как случаи, когда параметр  $q$  равен корню из единицы, представляют наибольший физический интерес, рассмотрим так же классификацию модулей и их тензорное произведение в важных случаях  $p=2$  и  $3$ .

Для  $p$  равного  $2$  или  $3$  существуют следующие модули:

$p=2$ : три атипических  $Z_{1,0}^{\alpha,\beta}$ ,  $Z_{2,0}^{\alpha,\beta}$ ,  $Z_{1,1}^{\alpha,\beta}$  и один Стейнберг  $Z_{2,1}^{\alpha,\beta}$

$p=3$ : пять атипических  $Z_{1,0}^{\alpha,\beta}$ ,  $Z_{2,0}^{\alpha,\beta}$ ,  $Z_{3,0}^{\alpha,\beta}$ ,  $Z_{1,1}^{\alpha,\beta}$ ,  $Z_{2,2}^{\alpha,\beta}$ , два типических  $Z_{1,2}^{\alpha,\beta}$ ,  $Z_{2,1}^{\alpha,\beta}$  и два Стейнберга  $Z_{3,1}^{\alpha,\beta}$ ,  $Z_{3,2}^{\alpha,\beta}$

### 6.1 $p = 2$

Тензорное произведение неприводимых модулей раскладывается в прямую сумму так называемых наклонных модулей (класс модулей на которых замыкаются тензорные произведения неприводимых), которая содержит неприводимые модули, проективные модули и некоторые специальные неразложимые модули, которые являются частями проективных.

Для  $p = 2$  существуют следующие tilting-модули

- неприводимые модули  $Z_{1,0}^{\alpha,\beta}$ ,  $Z_{2,0}^{\alpha,\beta}$ ,  $Z_{1,1}^{\alpha,\beta}$ ,  $Z_{2,1}^{\alpha,\beta}$
- проективные модули  $Q_{1,0}^{\alpha,\beta}$ ,  $Q_{2,0}^{\alpha,\beta}$ ,  $Q_{1,1}^{\alpha,\beta}$
- и модули  $P_{2,0}^{\alpha_{12},\beta_{12}}$  and  $P_{1,1}^{\alpha_{12},\beta_{12}}$ , которые можно реализовать как подмодули проективных  $Q_{2,0}^{\alpha_{12},\beta_{12}}$  и  $Q_{1,1}^{\alpha_{12},\beta_{12}}$  соответственно и  $P_{1,0}^{\alpha_{12},\beta_{12}}$  и  $\bar{P}_{1,0}^{\alpha_{12},\beta_{12}}$ , который можно реализовать как подмодуль  $Q_{1,0}^{\alpha_{12},\beta_{12}}$ . Графы этих модулей показаны на рисунках 0.1, 0.2, 0.3 и 0.4. в приложении.

Тензорные произведения неприводимых на неприводимые

$$\begin{aligned}
Z_{1,0}^{\alpha_1,\beta_1} \otimes Z_{s,r}^{\alpha_2,\beta_2} &= Z_{s,r}^{\alpha_{12},\beta_{12}} \\
Z_{2,0}^{\alpha_1,\beta_1} \otimes Z_{2,0}^{\alpha_2,\beta_2} &= P_{1,1}^{\alpha_{12},-\beta_{12}} \\
Z_{2,0}^{\alpha_1,\beta_1} \otimes Z_{1,1}^{\alpha_2,\beta_2} &= Z_{1,1}^{\alpha_{12},-\beta_{12}} \oplus Z_{2,1}^{\alpha_{12},\beta_{12}} \\
Z_{2,0}^{\alpha_1,\beta_1} \otimes Z_{2,1}^{\alpha_2,\beta_2} &= Q_{2,0}^{-\alpha_{12},-\beta_{12}} \\
Z_{1,1}^{\alpha_1,\beta_1} \otimes Z_{1,1}^{\alpha_2,\beta_2} &= P_{2,0}^{\alpha_{12},\beta_{12}} \\
Z_{1,1}^{\alpha_1,\beta_1} \otimes Z_{2,1}^{\alpha_2,\beta_2} &= Q_{1,1}^{-\alpha_{12},-\beta_{12}} \\
Z_{2,1}^{\alpha_1,\beta_1} \otimes Z_{2,1}^{\alpha_2,\beta_2} &= Q_{1,0}^{\alpha_{12},\beta_{12}} \oplus 2Z_{2,1}^{-\alpha_{12},-\beta_{12}}
\end{aligned}$$

неприводимых на  $P_{2,0}^{\alpha_{12},\beta_{12}}$  и  $P_{1,1}^{\alpha_{12},\beta_{12}}$

$$\begin{aligned}
P_{2,0}^{\alpha_1,\beta_1} \otimes Z_{2,0}^{\alpha_2,\beta_2} &= Q_{1,1}^{-\alpha_{12},-\beta_{12}} \oplus Z_{1,1}^{\alpha_{12},-\beta_{12}} \\
P_{2,0}^{\alpha_1,\beta_1} \otimes Z_{1,1}^{\alpha_2,\beta_2} &= P_{1,0}^{\alpha_{12},-\beta_{12}} \oplus 2Z_{2,1}^{\alpha_{12},\beta_{12}} \\
P_{1,1}^{\alpha_1,\beta_1} \otimes Z_{1,1}^{\alpha_2,\beta_2} &= Q_{2,0}^{-\alpha_{12},\beta_{12}} \oplus Z_{2,0}^{\alpha_{12},\beta_{12}} \\
P_{1,1}^{\alpha_1,\beta_1} \otimes Z_{2,0}^{\alpha_2,\beta_2} &= \bar{P}_{1,0}^{\alpha_{12},\beta_{12}} \oplus 2Z_{2,1}^{\alpha_{12},-\beta_{12}}
\end{aligned}$$

и неприводимых на  $P_{1,0}^{\alpha_{12},\beta_{12}}$  и  $\bar{P}_{1,0}^{\alpha_{12},\beta_{12}}$

$$\begin{aligned}
P_{1,0}^{\alpha_1,\beta_1} \otimes Z_{2,0}^{\alpha_2,\beta_2} &= P_{2,0}^{\alpha_{12},\beta_{12}} \oplus Z_{2,1}^{-\alpha_{12},-\beta_{12}} \oplus Z_{2,1}^{-\alpha_{12},\beta_{12}} \oplus Z_{2,1}^{\alpha_{12},-\beta_{12}} \\
P_{1,0}^{\alpha_1,\beta_1} \otimes Z_{1,1}^{\alpha_2,\beta_2} &= P_{2,0}^{\alpha_{12},\beta_{12}} \oplus P_{2,0}^{-\alpha_{12},-\beta_{12}} \oplus P_{2,0}^{-\alpha_{12},\beta_{12}} \oplus 2Z_{1,1}^{\alpha_{12},\beta_{12}} \\
\bar{P}_{1,0}^{\alpha_1,\beta_1} \otimes Z_{1,1}^{\alpha_2,\beta_2} &= P_{1,1}^{\alpha_{12},\beta_{12}} \oplus Z_{2,1}^{-\alpha_{12},-\beta_{12}} \oplus Z_{2,1}^{-\alpha_{12},\beta_{12}} \oplus Z_{2,1}^{\alpha_{12},-\beta_{12}} \\
\bar{P}_{1,0}^{\alpha_1,\beta_1} \otimes Z_{2,0}^{\alpha_2,\beta_2} &= P_{1,1}^{\alpha_{12},\beta_{12}} \oplus P_{1,1}^{-\alpha_{12},-\beta_{12}} \oplus P_{1,1}^{-\alpha_{12},\beta_{12}} \oplus 2Z_{2,0}^{\alpha_{12},\beta_{12}}
\end{aligned}$$

Тензорное произведение  $P_{1,1}^{\alpha_1,\beta_1}$ ,  $P_{2,0}^{\alpha_1,\beta_1}$ ,  $P_{1,0}^{\alpha_1,\beta_1}$  и  $\bar{P}_{1,0}^{\alpha_1,\beta_1}$  с самими собой

$$\begin{aligned} \bar{P}_{1,0}^{\alpha_1,\beta_1} \otimes \bar{P}_{1,0}^{\alpha_2,\beta_2} = & 2\bar{P}_{1,0}^{\alpha_{12},\beta_{12}} \oplus 3P_{1,1}^{\alpha_{12},-\beta_{12}} \oplus 2P_{1,1}^{-\alpha_{12},\beta_{12}} \oplus 2P_{1,1}^{-\alpha_{12},-\beta_{12}} \oplus 2P_{1,1}^{\alpha_{12},\beta_{12}} \oplus \\ & \oplus 2Z_{2,0}^{-\alpha_{12},-\beta_{12}} \oplus 2Z_{2,0}^{-\alpha_{12},\beta_{12}} \oplus 2Z_{2,0}^{\alpha_{12},-\beta_{12}} \end{aligned}$$

$$\begin{aligned} \bar{P}_{1,0}^{\alpha_1,\beta_1} \otimes P_{1,0}^{\alpha_2,\beta_2} = & P_{1,1}^{-\alpha_{12},-\beta_{12}} \oplus P_{1,1}^{-\alpha_{12},\beta_{12}} \oplus P_{1,1}^{\alpha_{12},-\beta_{12}} \oplus 4Z_{1,0}^{\alpha_{12},\beta_{12}} \oplus 2Z_{2,0}^{\alpha_{12},-\beta_{12}} \oplus 2Z_{2,0}^{-\alpha_{12},-\beta_{12}} \oplus \\ & \oplus 2Z_{2,0}^{-\alpha_{12},\beta_{12}} \oplus 3Z_{2,1}^{\alpha_{12},-\beta_{12}} \oplus 2Z_{2,1}^{-\alpha_{12},\beta_{12}} \oplus 2Z_{2,1}^{-\alpha_{12},-\beta_{12}} \oplus 2Z_{2,1}^{\alpha_{12},\beta_{12}} \end{aligned}$$

$$\bar{P}_{1,0}^{\alpha_1,\beta_1} \otimes P_{2,0}^{\alpha_2,\beta_2} = Q_{2,0}^{\alpha_{12},\beta_{12}} \oplus Q_{1,1}^{\alpha_{12},-\beta_{12}} \oplus Q_{1,1}^{\alpha_{12},\beta_{12}} \oplus Q_{1,1}^{-\alpha_{12},\beta_{12}} \oplus Z_{2,0}^{\alpha_{12},\beta_{12}}$$

$$\begin{aligned} \bar{P}_{1,0}^{\alpha_1,\beta_1} \otimes P_{1,1}^{\alpha_2,\beta_2} = & \bar{P}_{1,0}^{\alpha_{12},\beta_{12}} \oplus \bar{P}_{1,0}^{-\alpha_{12},-\beta_{12}} \oplus \bar{P}_{1,0}^{-\alpha_{12},\beta_{12}} \oplus 2P_{1,1}^{\alpha_{12},\beta_{12}} \oplus 2Z_{2,1}^{\alpha_{12},-\beta_{12}} \oplus \\ & \oplus 2Z_{2,1}^{-\alpha_{12},\beta_{12}} \oplus 2Z_{2,1}^{-\alpha_{12},-\beta_{12}} \end{aligned}$$

$$\begin{aligned} P_{1,0}^{\alpha_1,\beta_1} \otimes P_{1,0}^{\alpha_2,\beta_2} = & 2P_{1,0}^{\alpha_{12},\beta_{12}} \oplus 3P_{2,0}^{\alpha_{12},\beta_{12}} \oplus 2P_{2,0}^{-\alpha_{12},-\beta_{12}} \oplus 2P_{2,0}^{-\alpha_{12},\beta_{12}} \oplus 2P_{2,0}^{\alpha_{12},-\beta_{12}} \oplus \\ & \oplus 2Z_{1,1}^{-\alpha_{12},\beta_{12}} \oplus 2Z_{1,1}^{\alpha_{12},\beta_{12}} \oplus 2Z_{1,1}^{-\alpha_{12},-\beta_{12}} \end{aligned}$$

$$\begin{aligned} P_{1,0}^{\alpha_1,\beta_1} \otimes P_{2,0}^{\alpha_2,\beta_2} = & P_{1,0}^{\alpha_{12},-\beta_{12}} \oplus P_{1,0}^{-\alpha_{12},\beta_{12}} \oplus P_{1,0}^{-\alpha_{12},-\beta_{12}} \oplus 2P_{2,0}^{\alpha_{12},\beta_{12}} \oplus 2Z_{2,1}^{\alpha_{12},\beta_{12}} \oplus \\ & \oplus 2Z_{2,1}^{-\alpha_{12},\beta_{12}} \oplus 2Z_{2,1}^{-\alpha_{12},-\beta_{12}} \end{aligned}$$

$$P_{1,0}^{\alpha_1,\beta_1} \otimes P_{1,1}^{\alpha_2,\beta_2} = Q_{1,1}^{\alpha_{12},\beta_{12}} \oplus Q_{2,0}^{-\alpha_{12},-\beta_{12}} \oplus Q_{2,0}^{-\alpha_{12},\beta_{12}} \oplus Q_{2,0}^{\alpha_{12},\beta_{12}} \oplus Z_{1,1}^{\alpha_{12},\beta_{12}}$$

$$P_{1,1}^{\alpha_1,\beta_1} \otimes P_{1,1}^{\alpha_2,\beta_2} = 2Q_{2,0}^{\alpha_{12},\beta_{12}} \oplus P_{1,1}^{\alpha_{12},\beta_{12}} \oplus P_{1,1}^{-\alpha_{12},-\beta_{12}} \oplus P_{1,1}^{-\alpha_{12},\beta_{12}} \oplus 2Z_{2,0}^{\alpha_{12},\beta_{12}}$$

$$\begin{aligned} P_{1,1}^{\alpha_1,\beta_1} \otimes P_{2,0}^{\alpha_2,\beta_2} = & P_{1,1}^{-\alpha_{12},\beta_{12}} \oplus P_{1,1}^{-\alpha_{12},-\beta_{12}} \oplus P_{1,1}^{\alpha_{12},-\beta_{12}} \oplus 4Z_{2,1}^{\alpha_{12},\beta_{12}} \oplus 4Z_{1,0}^{\alpha_{12},-\beta_{12}} \oplus \\ & \oplus 2Z_{2,0}^{\alpha_{12},\beta_{12}} \oplus 2Z_{2,0}^{-\alpha_{12},\beta_{12}} \oplus 2Z_{2,0}^{-\alpha_{12},-\beta_{12}} \end{aligned}$$

$$P_{2,0}^{\alpha_1,\beta_1} \otimes P_{2,0}^{\alpha_2,\beta_2} = 2Q_{1,1}^{\alpha_{12},-\beta_{12}} \oplus P_{2,0}^{-\alpha_{12},\beta_{12}} \oplus P_{2,0}^{-\alpha_{12},-\beta_{12}} \oplus P_{2,0}^{\alpha_{12},-\beta_{12}} \oplus 2Z_{1,1}^{\alpha_{12},-\beta_{12}}$$

## 6.2 $p = 3$

Для  $p = 3$  существуют следующие tilting-модули

- неприводимые модули  $Z_{1,0}^{\alpha,\beta}$ ,  $Z_{2,0}^{\alpha,\beta}$ ,  $Z_{3,0}^{\alpha,\beta}$ ,  $Z_{1,1}^{\alpha,\beta}$ ,  $Z_{2,2}^{\alpha,\beta}$ ,  $Z_{1,2}^{\alpha,\beta}$ ,  $Z_{2,1}^{\alpha,\beta}$ ,  $Z_{3,1}^{\alpha,\beta}$ ,  $Z_{3,2}^{\alpha,\beta}$
- проективные модули  $Q_{1,0}^{\alpha,\beta}$ ,  $Q_{2,0}^{\alpha,\beta}$ ,  $Q_{1,1}^{\alpha,\beta}$ ,  $Q_{3,0}^{\alpha,\beta}$ ,  $Q_{2,2}^{\alpha,\beta}$ ,  $Q_{2,1}^{\alpha,\beta}$
- и модули  $P_{3,0}^{\alpha_{12},\beta_{12}}$  и  $P_{2,2}^{\alpha_{12},\beta_{12}}$ , которые можно представить как подмодули проективных  $Q_{3,0}^{\alpha_{12},\beta_{12}}$  и  $Q_{2,2}^{\alpha_{12},\beta_{12}}$  соответственно, модули  $J_{\text{right}}$ :  $Jr_{2,0}^{\alpha_{12},\beta_{12}}$ ,  $Jr_{1,1}^{\alpha_{12},\beta_{12}}$  и  $J_{\text{left}}$ :  $Jl_{2,0}^{\alpha_{12},\beta_{12}}$  и  $Jl_{1,1}^{\alpha_{12},\beta_{12}}$ , которые можно представить как подмодули проективных  $Q_{2,0}^{\alpha_{12},\beta_{12}}$  и  $Q_{1,1}^{\alpha_{12},\beta_{12}}$  и модуль  $Pir_{2,2}^{\alpha_{12},\beta_{12}}$ , как подмодуль

$Q_{2,2}^{\alpha_{12},\beta_{12}}$ . Графы модулей  $P_{2,2}^{\alpha_{12},\beta_{12}}$  и  $P_{3,0}^{\alpha_{12},\beta_{12}}$  такие же как и у модулей  $P_{1,1}^{\alpha_{12},\beta_{12}}$  и  $P_{2,0}^{\alpha_{12},\beta_{12}}$  для  $p = 2$ . Графы остальных модулей показаны на рисунках Fig.0.5, Fig.0.6, Fig.0.7, Fig.0.8 и Fig.0.9.

Тензорные произведения  $Z_{1,0}^{\alpha_1,\beta_1}$  and  $Z_{1,1}^{\alpha_1,\beta_1}$  со всеми неприводимыми модулями следующие

$$\begin{aligned}
Z_{1,0}^{\alpha_1,\beta_1} \otimes Z_{s,r}^{\alpha_2,\beta_2} &= Z_{s,r}^{\alpha_{12},\beta_{12}} \\
Z_{1,1}^{\alpha_1,\beta_1} \otimes Z_{1,1}^{\alpha_2,\beta_2} &= Z_{1,2}^{\alpha_{12},\beta_{12}} \oplus Z_{2,2}^{\alpha_{12},-\beta_{12}} \\
Z_{1,1}^{\alpha_1,\beta_1} \otimes Z_{1,2}^{\alpha_2,\beta_2} &= Jr_{2,0}^{\alpha_{12},\beta_{12}} \\
Z_{1,1}^{\alpha_1,\beta_1} \otimes Z_{2,0}^{\alpha_2,\beta_2} &= Z_{1,0}^{\alpha_{12},-\beta_{12}} \oplus Z_{2,1}^{\alpha_{12},\beta_{12}} \\
Z_{1,1}^{\alpha_1,\beta_1} \otimes Z_{2,1}^{\alpha_2,\beta_2} &= Jr_{1,1}^{\alpha_{12},-\beta_{12}} \oplus Z_{3,2}^{\alpha_{12},-\beta_{12}} \\
Z_{1,1}^{\alpha_1,\beta_1} \otimes Z_{2,2}^{\alpha_2,\beta_2} &= P_{3,0}^{\alpha_{12},\beta_{12}} \\
Z_{1,1}^{\alpha_1,\beta_1} \otimes Z_{3,0}^{\alpha_2,\beta_2} &= Z_{2,0}^{\alpha_{12},-\beta_{12}} \oplus Z_{3,1}^{\alpha_{12},\beta_{12}} \\
Z_{1,1}^{\alpha_1,\beta_1} \otimes Z_{3,1}^{\alpha_2,\beta_2} &= Q_{2,1}^{\alpha_{12},-\beta_{12}} \oplus Z_{3,2}^{\alpha_{12},\beta_{12}} \\
Z_{1,1}^{\alpha_1,\beta_1} \otimes Z_{3,2}^{\alpha_2,\beta_2} &= Q_{2,2}^{\alpha_{12},-\beta_{12}}
\end{aligned}$$

Тензорные произведения  $Z_{1,2}^{\alpha_1,\beta_1}$  с неприводимыми

$$\begin{aligned}
Z_{1,2}^{\alpha_1,\beta_2} \otimes Z_{1,2}^{\alpha_2,\beta_2} &= R_{1,0}^{\alpha_{12},-\beta_{12}} \oplus Z_{2,1}^{\alpha_{12},\beta_{12}} \\
Z_{1,2}^{\alpha_1,\beta_2} \otimes Z_{2,0}^{\alpha_2,\beta_2} &= Jr_{1,1}^{\alpha_{12},-\beta_{12}} \\
Z_{1,2}^{\alpha_1,\beta_2} \otimes Z_{2,1}^{\alpha_2,\beta_2} &= Pir_{2,2}^{\alpha_{12},\beta_{12}} \oplus Z_{1,2}^{\alpha_{12},-\beta_{12}} \oplus Z_{3,0}^{\alpha_{12},\beta_{12}} \oplus Z_{2,0}^{\alpha_{12},-\beta_{12}} \\
Z_{1,2}^{\alpha_1,\beta_2} \otimes Z_{2,2}^{\alpha_2,\beta_2} &= Z_{3,1}^{\alpha_{12},\beta_{12}} \oplus Z_{2,1}^{\alpha_{12},-\beta_{12}} \\
Z_{1,2}^{\alpha_1,\beta_2} \otimes Z_{3,0}^{\alpha_2,\beta_2} &= Z_{3,2}^{\alpha_{12},\beta_{12}} \oplus Z_{2,1}^{\alpha_{12},-\beta_{12}} \\
Z_{1,2}^{\alpha_1,\beta_2} \otimes Z_{3,1}^{\alpha_2,\beta_2} &= Q_{2,2}^{\alpha_{12},-\beta_{12}} \oplus Z_{3,2}^{\alpha_{12},\beta_{12}} \\
Z_{1,2}^{\alpha_1,\beta_2} \otimes Z_{3,2}^{\alpha_2,\beta_2} &= Q_{3,0}^{\alpha_{12},-\beta_{12}} \oplus Z_{3,1}^{\alpha_{12},-\beta_{12}}
\end{aligned}$$

Тензорные произведения  $Z_{2,0}^{\alpha_1,\beta_1}$  с неприводимыми:

$$\begin{aligned}
Z_{2,0}^{\alpha_1,\beta_2} \otimes Z_{2,0}^{\alpha_2,\beta_2} &= Z_{1,2}^{\alpha_{12},-\beta_{12}} \oplus Z_{3,0}^{\alpha_{12},\beta_{12}} \\
Z_{2,0}^{\alpha_1,\beta_2} \otimes Z_{2,1}^{\alpha_2,\beta_2} &= Jr_{2,0}^{\alpha_{12},-\beta_{12}} \oplus Z_{3,1}^{\alpha_{12},\beta_{12}} \\
Z_{2,0}^{\alpha_1,\beta_2} \otimes Z_{2,2}^{\alpha_2,\beta_2} &= Z_{3,2}^{\alpha_{12},\beta_{12}} \oplus Z_{1,1}^{\alpha_{12},\beta_{12}} \\
Z_{2,0}^{\alpha_1,\beta_2} \otimes Z_{3,0}^{\alpha_2,\beta_2} &= P_{2,2}^{\alpha_{12},-\beta_{12}} \\
Z_{2,0}^{\alpha_1,\beta_2} \otimes Z_{3,1}^{\alpha_2,\beta_2} &= Q_{3,0}^{\alpha_{12},-\beta_{12}} \\
Z_{2,0}^{\alpha_1,\beta_2} \otimes Z_{3,2}^{\alpha_2,\beta_2} &= Q_{2,1}^{\alpha_{12},\beta_{12}} \oplus Z_{3,1}^{\alpha_{12},-\beta_{12}}
\end{aligned}$$

Тензорные произведения  $Z_{2,1}^{\alpha_1,\beta_1}$  с неприводимыми

$$\begin{aligned}
Z_{2,1}^{\alpha_1,\beta_2} \otimes Z_{2,1}^{\alpha_2,\beta_2} &= Q_{2,1}^{\alpha_{12},-\beta_{12}} \oplus R_{1,0}^{\alpha_{12},\beta_{12}} \oplus Z_{3,2}^{\alpha_{12},\beta_{12}} \oplus Z_{3,1}^{\alpha_{12},\beta_{12}} \oplus Z_{2,1}^{\alpha_{12},-\beta_{12}} \\
Z_{2,1}^{\alpha_1,\beta_2} \otimes Z_{2,2}^{\alpha_2,\beta_2} &= Q_{2,2}^{\alpha_{12},-\beta_{12}} \oplus Z_{1,2}^{\alpha_{12},\beta_{12}} \\
Z_{2,1}^{\alpha_1,\beta_2} \otimes Z_{3,0}^{\alpha_2,\beta_2} &= Q_{3,0}^{\alpha_{12},-\beta_{12}} \oplus Z_{1,2}^{\alpha_{12},\beta_{12}} \\
Z_{2,1}^{\alpha_1,\beta_2} \otimes Z_{3,1}^{\alpha_2,\beta_2} &= Q_{2,0}^{\alpha_{12},\beta_{12}} \oplus Q_{2,1}^{\alpha_{12},\beta_{12}} \oplus 2Z_{3,1}^{\alpha_{12},-\beta_{12}} \\
Z_{2,1}^{\alpha_1,\beta_2} \otimes Z_{3,2}^{\alpha_2,\beta_2} &= Q_{1,1}^{\alpha_{12},-\beta_{12}} \oplus Q_{2,1}^{\alpha_{12},\beta_{12}} \oplus 2Z_{3,2}^{\alpha_{12},-\beta_{12}}
\end{aligned}$$

Тензорные произведения  $Z_{2,2}^{\alpha_1,\beta_1}$  с неприводимыми

$$\begin{aligned}
Z_{2,2}^{\alpha_1,\beta_2} \otimes Z_{2,2}^{\alpha_2,\beta_2} &= Jl_{2,0}^{\alpha_{12},\beta_{12}} \oplus Z_{3,1}^{\alpha_{12},-\beta_{12}} \\
Z_{2,2}^{\alpha_1,\beta_2} \otimes Z_{3,0}^{\alpha_2,\beta_2} &= Q_{2,1}^{\alpha_{12},\beta_{12}} \oplus Z_{1,0}^{\alpha_{12},-\beta_{12}} \\
Z_{2,2}^{\alpha_1,\beta_2} \otimes Z_{3,1}^{\alpha_2,\beta_2} &= Q_{1,1}^{\alpha_{12},-\beta_{12}} \oplus Z_{3,2}^{\alpha_{12},-\beta_{12}} \\
Z_{2,2}^{\alpha_1,\beta_2} \otimes Z_{3,2}^{\alpha_2,\beta_2} &= Q_{3,0}^{\alpha_{12},\beta_{12}} \oplus Z_{1,2}^{\alpha_{12},-\beta_{12}}
\end{aligned}$$

Тензорные произведения  $Z_{3,0}^{\alpha_1,\beta_1}$  с неприводимыми

$$\begin{aligned}
Z_{3,0}^{\alpha_1,\beta_2} \otimes Z_{3,0}^{\alpha_2,\beta_2} &= Jl_{1,1}^{\alpha_{12},-\beta_{12}} \oplus Z_{3,2}^{\alpha_{12},-\beta_{12}} \\
Z_{3,0}^{\alpha_1,\beta_2} \otimes Z_{3,1}^{\alpha_2,\beta_2} &= Q_{2,2}^{\alpha_{12},\beta_{12}} \oplus Q_{1,2}^{\alpha_{12},-\beta_{12}} \\
Z_{3,0}^{\alpha_1,\beta_2} \otimes Z_{3,2}^{\alpha_2,\beta_2} &= Q_{2,0}^{\alpha_{12},-\beta_{12}} \oplus Z_{3,1}^{\alpha_{12},\beta_{12}}
\end{aligned}$$

И тензорные произведения  $Z_{3,1}^{\alpha_1,\beta_1}$  и  $Z_{3,2}^{\alpha_1,\beta_1}$  с неприводимыми:

$$Z_{3,1}^{\alpha_1,\beta_2} \otimes Z_{3,1}^{\alpha_2,\beta_2} = Q_{3,0}^{\alpha_{12},\beta_{12}} \oplus Q_{2,0}^{\alpha_{12},-\beta_{12}} \oplus R_{1,2}^{\alpha_{12},-\beta_{12}} \oplus Z_{3,2}^{-\alpha_{12},-\beta_{12}} \oplus Z_{3,2}^{-\alpha_{12},\beta_{12}} \oplus Z_{3,1}^{\alpha_{12},\beta_{12}}$$

$$Z_{3,1}^{\alpha_1,\beta_2} \otimes Z_{3,2}^{\alpha_2,\beta_2} = Q_{1,0}^{\alpha_{12},\beta_{12}} \oplus 2R_{2,1}^{\alpha_{12},-\beta_{12}} \oplus Z_{3,2}^{\alpha_{12},\beta_{12}} \oplus Z_{3,1}^{\alpha_{12},\beta_{12}}$$

$$Z_{3,2}^{\alpha_1,\beta_2} \otimes Z_{3,2}^{\alpha_2,\beta_2} = Q_{2,2}^{\alpha_{12},-\beta_{12}} \oplus Q_{1,1}^{\alpha_{12},\beta_{12}} \oplus R_{1,2}^{\alpha_{12},\beta_{12}} \oplus Z_{3,1}^{-\alpha_{12},-\beta_{12}} \oplus Z_{3,1}^{-\alpha_{12},\beta_{12}} \oplus Z_{3,2}^{\alpha_{12},\beta_{12}}$$



## 7 ВЫВОДЫ

В работе была описана алгебра  $\mathcal{U}_qsl(2|1)$  при произвольном параметре деформации и исследованы ее свойства, в частности были найдены тензорные произведения неприводимых модулей. Было введено определение спиновой цепочки как  $(n + m)$ -кратного тензорного произведения фундаментальных представлений алгебры  $\mathcal{U}_qsl(2|1)$ . Было описано действие на цепочке централизатора  $\mathcal{U}_qsl(2|1)$  - walled Brauer алгебры, приведено явное действие генераторов алгебры на базисные вектора и их графическое изображение.

Основным результатом работы является получение разложения цепочки как бимодуля над парой взаимных централизаторов  $\mathcal{U}_qsl(2|1)$  и  $qWB$ .

Также были приведены некоторые результаты исследований случаев, когда параметр деформации алгебры  $\mathcal{U}_qsl(2|1)$  равен корню из единицы степени 2 и 3. Как уже упоминалось, они в дальнейшем будут представлять наибольший физический интерес.

# Приложение

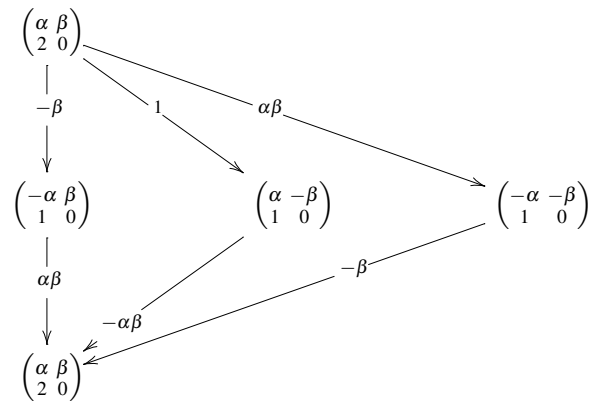


FIGURE 0.1. Graph of the module  $P_{2,0}^{\alpha,\beta}$

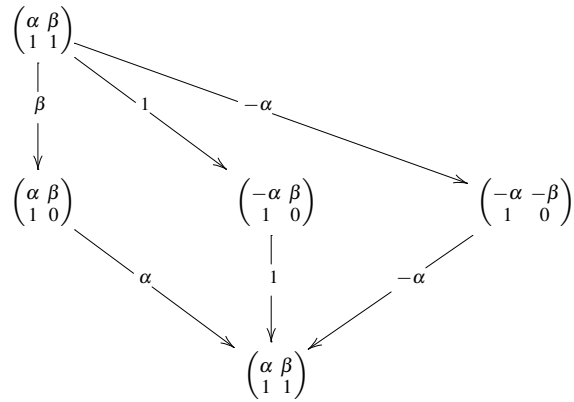
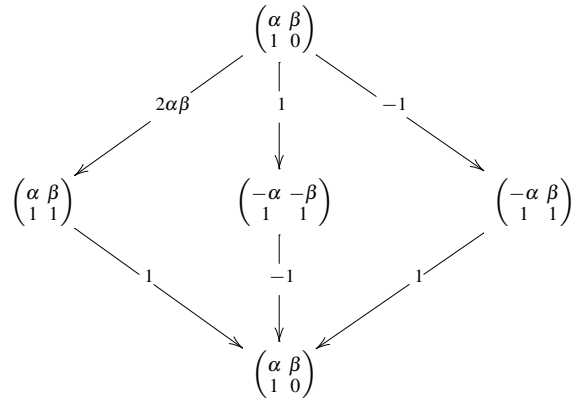
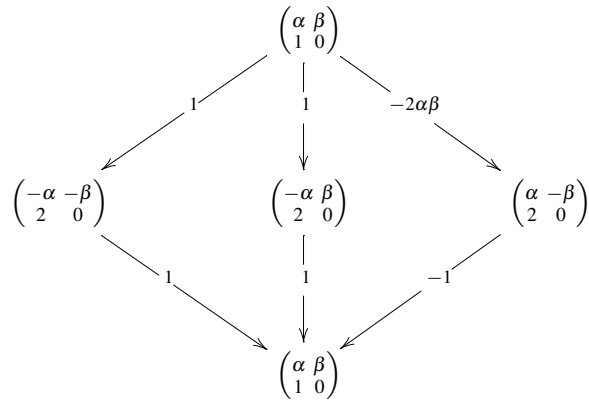
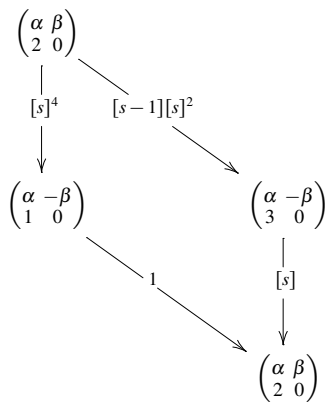


FIGURE 0.2. Graph of the module  $P_{1,1}^{\alpha,\beta}$

FIGURE 0.3. Graph of the module  $P_{1,0}^{\alpha,\beta}$ FIGURE 0.4. Graph of the module  $\bar{P}_{1,0}^{\alpha,\beta}$ FIGURE 0.5. Graph of the module  $Jr_{2,0}^{\alpha,\beta}$

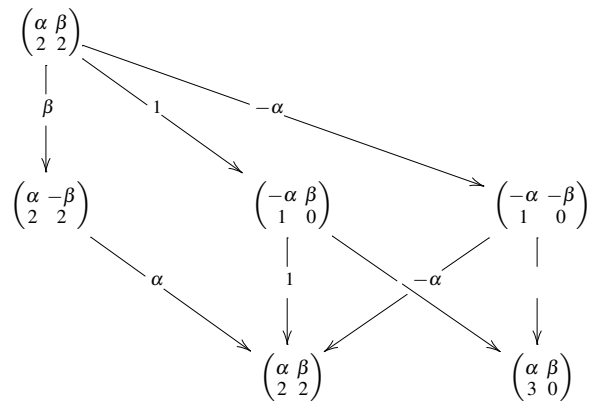


FIGURE 0.6. Graph of the module  $Pir_{2,2}^{\alpha,\beta}$

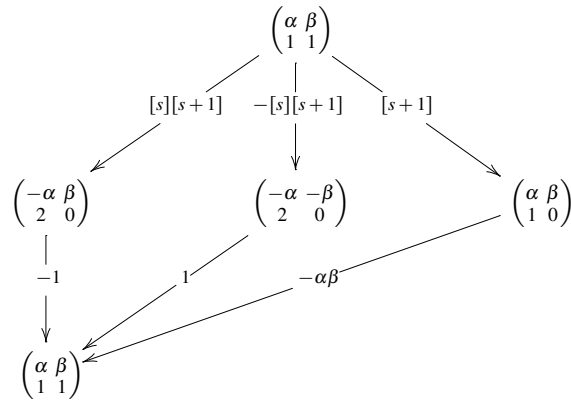


FIGURE 0.7. Graph of the module  $JI_{1,1}^{\alpha,\beta}$

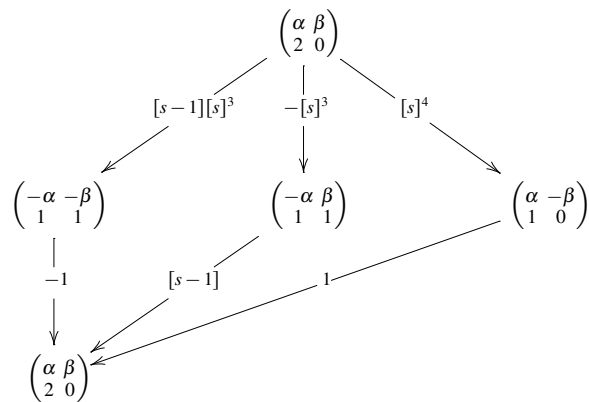


FIGURE 0.8. Graph of the module  $JI_{2,0}^{\alpha,\beta}$

## Список литературы

- [1] A. M. Gainutdinov, N. Read, H. Saleur and R. Vasseur, *The periodic  $sl(2|1)$  alternating spin chain and its continuum limit as a bulk Logarithmic Conformal Field Theory at  $c = 0$*
- [2] A.M. Gainutdinov, R. Vasseur, *Lattice fusion rules and logarithmic operator product expansion*, arXiv:1203.6289v3 [hep-th].
- [3] A.M. Gainutdinov, H. Saleur, I. Yu. Tipunin, *Lattice  $W$ -algebras and logarithmic CFTs*, arXiv:1212.1378v3 [hep-th].
- [4] A. M. Semikhatov, I. Yu. Tipunin, *Representations of  $\bar{U}_q sl(2|1)$  at even roots of unity*, arXiv:1312.5127v1 [math.QA].
- [5] Enyang, *Cellular bases of the two-parameter version of the centraliser algebra for the mixed tensor representations of the quantum general linear group*, Combinatorial representation theory and related topics (Kyoto, 2002) 1310 (2003) 134–153.
- [6] М. Гото, Ф. Гросханс, *Полупростые алгебры Ли*, М:Мир, 1981.
- [7] W. Fulton, J. Harris, *Representation Theory—A First Course, Graduate Texts in Math*, Springer, Berlin (1991)
- [8] C. Gómez, M. Ruiz-Altaba, G. Sierra, *Quantum groups in two dimensional physics*, Cambridge University Press (2005)
- [9] M. Henkel, *Conformal Invariance and Critical phenomena*, Springer (1999)
- [10] P. Francesco, P. Mathieu, D. Senechal, *Conformal field theory*, Springer New York (1997)
- [11] К. Кассель, *Квантовые группы*, М.: Фазис, 1999
- [12] К. Кассель, В.Г. Тураев, *Группы кос*, М.: МЦНМО, 2014
- [13] N. Read and H. Saleur, *Enlarged symmetry algebras of spin chains, loop models, and  $S$ -matrices*, Nucl. Phys. B **777**, 263 (2007).

- [14] N. Read and H. Saleur, *Associative-algebraic approach to logarithmic conformal field theories*, Nucl. Phys. B **777**, 316 (2007).
- [15] F. H. L. Essler, H. Frahm and H. Saleur, *Continuum limit of the integrable  $sl(2|1) \ 3 - \bar{3}$  superspin chain*, arXiv:cond-mat/0501197v1
- [16] Hebing Rui and Linliang Song *The representations of quantized walled Brauer algebra*, arXiv:1403.7722v1 [math.QA].